1 Метеорологические условия

1.1 Синоптический обзор

Кинематические карты, рис. 1-2–1-4, содержат положение циклонов (красный цвет) и антициклонов (синий цвет) на 00 BCB каждых суток декады и траектории их смещения. За барическими объектами закреплен номер, по которому из ниже следующих таблиц можно определить точные координаты и давление в центре объекта в срок 00 BCB.

I декада марта 2022 г.

Японское море

В начале декады по центральной части моря со скоростью 60 км/ч проследовал неглубокий циклон с давлением в центре 1004 гПа, не вызвавший усиления ветра.

3 марта вслед за ним проследовал ещё один циклон глубиной 1002 гПа, тоже не вызвав существенного ухудшения погоды.

5 марта на северную часть акватории с Китая вышел обширный циклон глубиной 986 гПа. Он медленно, со скоростью 20 км/ч, двигался на восток, 6 числа переместился на Хоккайдо. Циклон обусловил усиление ветра до 17–22 м/с, волнение моря до 4–5 м. С 7 марта установилось поле высокого давления, на юге акватории сформировалось ядро с давлением в центре 1020 гПа. Ветер и волнение были умеренные.

Охотское море

В начале декады над Охотским морем располагалось малоградиентное поле пониженного давления. З марта на акваторию моря через Камчатку от Командорских островов перевалил циклон с давлением в центре 980 гПа. Циклон начал медленно двигаться на запад, юго-запад, 5 числа заполнился вблизи центральных островов Курильской гряды. Скорость ветра с этим процессом возрастала до 15–18 м/с, волнение развивалось 3–4 м.

В последующие дни погодные условия определяли циклоны, которые перемещались над Тихим океаном вблизи Курильских островов. Ветер усиливался до 17-22 м/с, волнение развивалось до 4-5 м.

В конце декады над морем установилось малоградиентное поле повышенного давления. Ветер уменьшился до 7–12 м/с, волнение было в пределах 1–2 м.

Берингово море

В течение первой декады над Беринговым морем отмечался активный циклогенез.

Глубокий циклон, который вышел к Командорским островам 1 марта, обусловил усиление ветра до 18–23 м/с, волнение до 5–6 м.

2 марта через восточные острова Алеутской гряды в Берингово море вышел циклон с давлением в центре 978 гПа. Медленно двигаясь на север, северо-запад, он заполнялся. 5 числа, приблизившись к Командорским островам, заполнился. На акватории моря сохранялись сильный ветер 15-20 м/с, волнение 5-6 м.

Следующий циклон вышел на центральные Алеуты 6 марта с юга с давлением в центре 970 гПа (рис. 1-1). Смещаясь на север со скоростью 30 км/ч, заполнялся, 8 числа переместился на Чукотку. Максимальная скорость ветра с этим процессом -20-25 м/с, волнение развивалось до 6-7 м.

В конце декады над морем сохранялись напряженные барические градиенты, ветер оставался сильным, 13-18 м/c, волнение – до 4-5 м.

Северо-западная часть Тихого океана

Глубокий циклон, который в конце февраля вышел на север района, углубился до 966 гПа и продолжил движение на северо-запад со скоростью 30 км/ч. Приблизившись к Командорским островам, циклон повернул на юг, заполнился 5 числа вблизи южной оконечности Камчатки. Наибольшая скорость ветра в зоне циклона в период его максимального развития (1–2 марта) – 20–25 м/с, волнение наблюдалось до 6–7 м.

1 марта с Японского моря на акваторию района вышел циклон с давлением в центре 1004 гПа. Углубляясь, со скоростью 80–90 км/ч он начал двигаться на восток, северо-восток, 3 числа по 44-й параллели переместился в западное полушарие с давлением в центре 984 гПа. Циклон сопровождался сильным ветром 18–23 м/с, волнением 6–7 м.

Ещё один циклон переместился в северо-западную часть Тихого океана с Японского моря 3 марта. Двигаясь на восток, северо-восток со скоростью 60 км/ч, он углублялся, 6 марта переместился в Берингово море с давлением в центре 970 гПа. Циклон обусловил усиление ветра до 20-25 м/с, волнение 7-8 м.

6 марта с акватории Японского моря в Тихий океан переместилась многоцентровая депрессия. Поступательно смещалась на северо-восток со скоростью 20 км/ч, 10 числа приблизилась к Алеутским островам. Минимальное давление в центре циклонов составляло 972 гПа. Ветер с этим процессом усиливался до 20–25 м/с, волнение возрастало 6–7 м.

В течение декады вблизи 30-й параллели перемещались ядра высокого давления. Так, 4 марта с Японского моря в северо-западную часть Тихого океана переместилось ядро с давлением 1018 гПа. Смещаясь на восток со скоростью 30 км/ч, 6 числа оно покинуло восточное полушарие по 33-й широте с давлением в центре 1022 гПа.

Ещё одно ядро скатилось с Японского моря в Тихий океан 8 марта. Двигалось на восток со скоростью 60 км/ч без развития, 9 числа по 32-й параллели переместилось в западное полушарие.

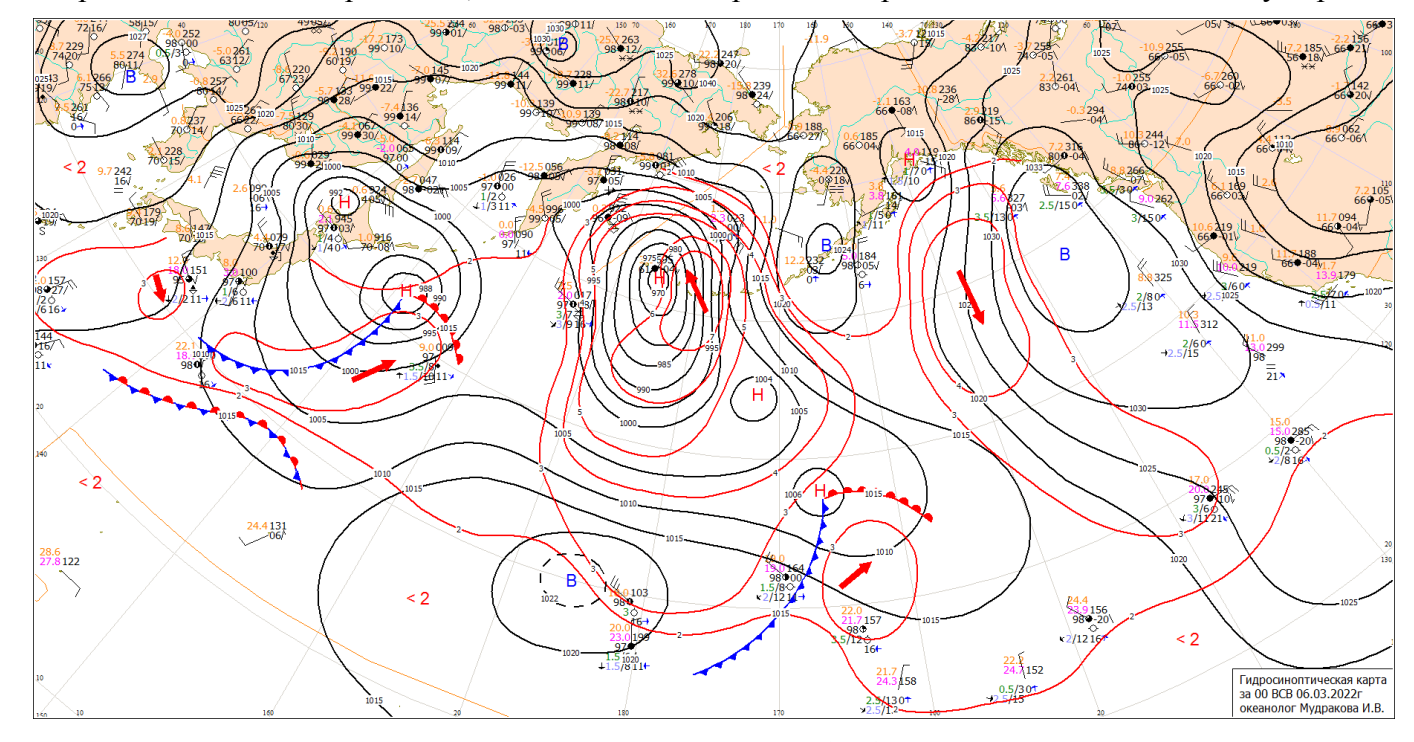


Рис. 1-1 Приземная карта за 00 ВСВ 6 марта 2022 г.

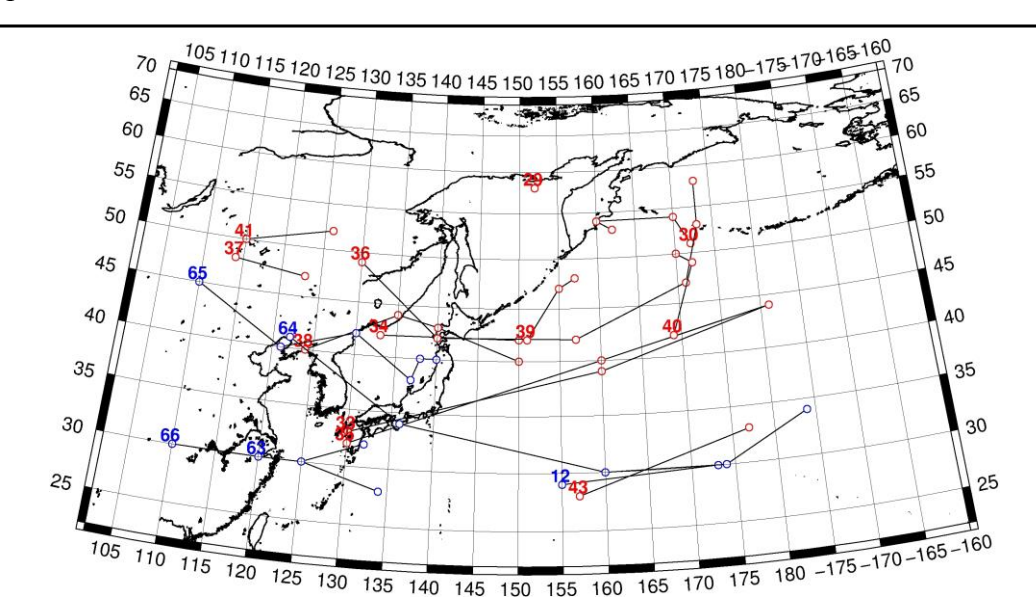


Рис. 1-2 Траектории движения циклонов и антициклонов в I декаде марта

| | | Циклоны | [| | Антициклоны | | | | | | |
|-------|------------|---------|---------|----------|-------------|------------|----|---------|----------|--|--|
| Номер | Дата | Широта | Долгота | Давление | Номер | - | | Долгота | Давление | | |
| 29 | 01.03.2022 | 58 | 152 | 992 | 12 | 01.03.2022 | 29 | 155 | 1024 | | |
| 30 | 01.03.2022 | 51 | 172 | 966 | | 02.03.2022 | 30 | 173 | 1022 | | |
| | 02.03.2022 | 54 | 170 | 964 | 63 | 02.03.2022 | 30 | 120 | 1024 | | |
| | 03.03.2022 | 54 | 160 | 978 | | 03.03.2022 | 30 | 125 | 1022 | | |
| | 04.03.2022 | 53 | 162 | 984 | | 04.03.2022 | 28 | 134 | 1020 | | |
| 33 | 01.03.2022 | 33 | 130 | 1012 | 64 | 03.03.2022 | 41 | 122 | 1020 | | |
| | 02.03.2022 | 39 | 160 | 998 | | 04.03.2022 | 34 | 136 | 1020 | | |
| | 03.03.2022 | 44 | 181 | 984 | | 05.03.2022 | 30 | 160 | 1018 | | |
| 34 | 01.03.2022 | 42 | 133 | 1008 | | 06.03.2022 | 30 | 174 | 1022 | | |
| | 02.03.2022 | 42 | 150 | 1002 | | 07.03.2022 | 34 | 184 | 1024 | | |
| 35 | 01.03.2022 | 32 | 130 | 1012 | 65 | 05.03.2022 | 45 | 110 | 1032 | | |
| | 02.03.2022 | 40 | 160 | 998 | | 06.03.2022 | 40 | 121 | 1028 | | |
| | 03.03.2022 | 44 | 181 | 984 | | 07.03.2022 | 42 | 130 | 1022 | | |
| 36 | 02.03.2022 | 49 | 130 | 1006 | | 08.03.2022 | 38 | 137 | 1020 | | |
| | 03.03.2022 | 42 | 140 | 1002 | | 09.03.2022 | 40 | 138 | 1024 | | |
| | 04.03.2022 | 42 | 157 | 994 | | 10.03.2022 | 40 | 140 | 1024 | | |
| | 05.03.2022 | 47 | 171 | 976 | 66 | 07.03.2022 | 30 | 110 | 1020 | | |
| | 06.03.2022 | 53 | 173 | 970 | | 08.03.2022 | 30 | 120 | 1024 | | |
| | 07.03.2022 | 58 | 173 | 994 | | 09.03.2022 | 30 | 125 | 1024 | | |
| 37 | 03.03.2022 | 48 | 114 | 1008 | | 10.03.2022 | 32 | 132 | 1024 | | |
| | 04.03.2022 | 47 | 123 | 994 | | | | | | | |
| 38 | 04.03.2022 | 40 | 124 | 1004 | | | | | | | |
| | 05.03.2022 | 44 | 135 | 988 | | | | | | | |
| | 06.03.2022 | 43 | 140 | 992 | | | | | | | |
| | 07.03.2022 | 40 | 150 | 980 | _ | _ | | | | | |
| 39 | 06.03.2022 | 42 | 151 | 988 | | | | | | | |
| | 07.03.2022 | 47 | 155 | 978 | | | | | | | |

| Циклоны | | | | | | Антициклоны | | | | | |
|---------|------------|--------|---------|----------|-------|-------------|--------|---------|----------|--|--|
| Номер | Дата | Широта | Долгота | Давление | Номер | Дата | Широта | Долгота | Давление | | |
| | 08.03.2022 | 48 | 157 | 976 | | | | | | | |
| 40 | 08.03.2022 | 42 | 169 | 982 | | | | | | | |
| | 09.03.2022 | 49 | 172 | 988 | | | | | | | |
| | 10.03.2022 | 50 | 170 | 988 | | | | | | | |
| 41 | 09.03.2022 | 50 | 115 | 1004 | | | | | | | |
| | 10.03.2022 | 52 | 126 | 996 | | | | | | | |
| 43 | 09.03.2022 | 28 | 157 | 1004 | | | | | | | |
| | 10.03.2022 | 33 | 177 | 1006 | | | | | | | |

II декада марта 2022 г.

Японское море

В первой половине декады над акваторией моря перемещались циклоны. Так, 11 марта над северной частью моря проследовал циклон с давлением в центре 1004 гПа. Вслед за ним скатилось ядро с давлением в центре 1020 гПа, оно прошло по центральной части акватории. 13-14 марта прошёл следующий циклон глубиной 1010 гПа, он перемещался на восток со скоростью 30-40 км/ч.

Наиболее глубокий циклон прошел над южной половиной моря 14-15 марта. Минимальное давление в его центре составляло 996 гПа. Существенного усиления ветра циклоны не вызвали, максимальная скорость ветра -9-14 м/с, волнение - в пределах 1-2 м.

В дальнейшем установилось поле повышенного давления, лишь 20 марта на востоке акватории сказывалось влияние циклона, смещавшегося вблизи Японских островов. Ветер в этом районе усиливался до 13-18 м/с, волнение развивалось до 2-3 м.

Охотское море

В начале декады, 12 марта, по южной части акватории проследовал циклон с давлением в центре 1004 гПа. Вблизи побережья Камчатки 12–13 числа наблюдался малоподвижный частный циклон с давлением 1008 гПа. Циклоны не вызвали существенного ухудшения погодных условий.

В последующие дни над морем располагался гребень от антициклона, развивающегося над Якутией.

20 марта вдоль Курильской гряды проследовал циклон, вызвавший усиление ветра на юге моря до 15-20 м/с, волнение до 3-4 м.

Берингово море

В начале декады погодные условия формировались под влиянием двух циклонов, один из которых находился в районе восточных островов Алеутской гряды, другой — южнее западной её части. Восточный циклон медленно двигался вдоль гряды в западном направлении, 13 числа заполнился. В дальнейшем над морем сформировались повышенные барические градиенты за счёт близости циклона, развивающегося над Аляской, и чукотского антициклона. Скорость ветра над акваторией моря была 8—13 м/с, волнение — 2—3 м.

17 марта на большую часть акватории распространился гребень колымского антициклона, он сохранял свое влияние до конца декады. Ветер и волнение были умеренными.

Северо-западная часть Тихого океана

Циклоническая система, которая в конце первой декады вышла к западной части Алеутской гряды, заполняясь, начала двигаться на юго-восток. Ветры в её зоне ослабели до $13-18\,$ м/с, волнение уменьшилось до $3-4\,$ м.

11 марта в район с координатами 30° с. ш., 165° в. д. вышел южный циклон с давлением в центре 1000 гПа. Он двигался на северо-восток со скоростью 70-80 км/ч, углублялся, 12 числа по 36-й параллели переместился в западное полушарие с давлением в центре 986 гПа. Ветер в зоне циклона достигал 20-25 м/с, волнение развивалось до 5-6 м.

11 марта с Японского моря в Тихий океан переместился антициклон мощностью 1022 гПа. Он двигался на восток со скоростью 40–50 км/ч, усиливался, 13 марта вблизи 30-й широты переместился в западное полушарие с давлением в центре 1028 гПа.

12 марта вслед за первым скатилось ещё одно ядро. Медленно двигалось на восток без развития, с давлением в центре 1022–1024 гПа, 16 числа по 30-й параллели покинуло восточное полушарие.

12 марта от южных Курил на акваторию Тихого океана переместился циклон с давлением в центре 1004 гПа. Циклон начал двигаться на восток, увеличивая скорость перемещения от 30 до 50–60 км/ч, углублялся, 14 числа по 45-й параллели покинул восточное полушарие с давлением в центре 990 гПа. Ветер в зоне циклона усиливался до 15–20 м/с, волнение развивалось до 5–6 м.

Следующий циклон вышел в северо-западную часть Тихого океана с Японского моря 14 марта. Смещаясь на восток, северо-восток со скоростью 50–60 км/ч и углубляясь, циклон пересёк 180-й меридиан 16 числа по 45-й параллели. Минимальное давление в его центре составляло 990 гПа. Ветер, при приближении к 180-му меридиану, усиливался до 20–25 м/с, волнение развивалось до 7–8 м.

15 марта на акваторию океана с Восточного Китая вышло ядро мощностью 1014 гПа. Со скоростью 40 км/ч двигалось на восток вблизи 30-й параллели, усиливалось, в конце декады переместилось в западное полушарие с давлением в центре 1022 гПа.

16 марта вблизи восточного побережья Японии образовался волновой циклон глубиной 1006 гПа. Двигался на восток, северо-восток со скоростью 30 км/ч без существенного развития, заполнился 17 числа в районе с координатами 45° с. ш., 165° в. д. В зоне циклона наблюдались сильный ветер до 15-18 м/с, волнение 3-4 м.

17 числа с Восточного Китая, примерно от района Шанхая, в Тихий океан переместился циклон глубиной 1004 гПа. Он двигался на восток, затем северо-восток со скоростью 40–50 км/ч, углублялся, 20 марта приблизился к Камчатке. Минимальное давление в центре циклона – 974 гПа. Скорость ветра в зоне циклона достигала 20–25 м/с, волнение развивалось до 6–7 м.

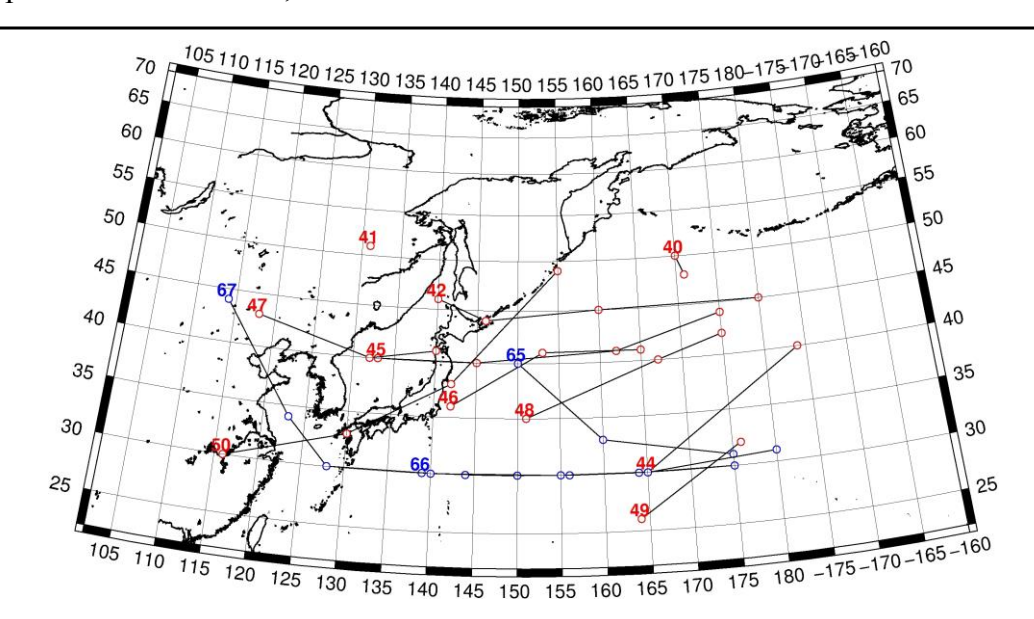


Рис. 1-3 Траектории движения циклонов и антициклонов во II декаде марта

| | | Циклоны | Ī | | Антициклоны | | | | | | |
|-------|------------|---------|---------|----------|-------------|------------|--------|---------|----------|--|--|
| Номер | Дата | Широта | Долгота | Давление | Номер | Дата | Широта | Долгота | Давление | | |
| 40 | 11.03.2022 | 50 | 170 | 990 | 65 | 11.03.2022 | 40 | 150 | 1022 | | |
| | 12.03.2022 | 48 | 171 | 994 | | 12.03.2022 | 33 | 160 | 1024 | | |
| 41 | 11.03.2022 | 51 | 131 | 1004 | | 13.03.2022 | 31 | 175 | 1028 | | |
| 42 | 11.03.2022 | 46 | 140 | 1004 | 66 | 11.03.2022 | 30 | 139 | 1022 | | |
| | 12.03.2022 | 44 | 146 | 1004 | | 12.03.2022 | 30 | 144 | 1022 | | |
| | 13.03.2022 | 45 | 160 | 1000 | | 13.03.2022 | 30 | 150 | 1024 | | |
| | 14.03.2022 | 45 | 180 | 990 | | 14.03.2022 | 30 | 156 | 1022 | | |
| 44 | 11.03.2022 | 30 | 165 | 1000 | | 15.03.2022 | 30 | 164 | 1022 | | |
| | 12.03.2022 | 40 | 184 | 978 | | 16.03.2022 | 30 | 175 | 1022 | | |
| 45 | 13.03.2022 | 40 | 133 | 1010 | 67 | 14.03.2022 | 44 | 114 | 1020 | | |
| | 14.03.2022 | 40 | 145 | 1008 | | 15.03.2022 | 34 | 123 | 1016 | | |
| | 15.03.2022 | 41 | 162 | 996 | | 16.03.2022 | 30 | 128 | 1016 | | |
| | 16.03.2022 | 44 | 175 | 990 | | 17.03.2022 | 30 | 140 | 1018 | | |
| 46 | 15.03.2022 | 36 | 142 | 1006 | | 18.03.2022 | 30 | 155 | 1022 | | |
| | 16.03.2022 | 41 | 153 | 1002 | | 19.03.2022 | 30 | 165 | 1022 | | |
| | 17.03.2022 | 41 | 165 | 1008 | | 20.03.2022 | 31 | 180 | 1022 | | |
| 47 | 15.03.2022 | 43 | 118 | 1004 | | | | | | | |
| | 16.03.2022 | 40 | 132 | 1012 | | | | | | | |
| | 17.03.2022 | 41 | 140 | 1016 | | | | | | | |
| 48 | 17.03.2022 | 35 | 151 | 1010 | | | | | | | |
| | 18.03.2022 | 40 | 167 | 984 | | | | | | | |
| | 19.03.2022 | 42 | 175 | 990 | | | | | | | |
| 49 | 17.03.2022 | 26 | 164 | 1012 | | | | | | | |
| | 18.03.2022 | 32 | 176 | 998 | | | | | | | |
| 50 | 17.03.2022 | 30 | 116 | 1004 | | | | | | | |
| | 18.03.2022 | 33 | 130 | 998 | | | | | | | |

| | | Циклоны | 1 | | Антициклоны | | | | | |
|-------|-----------------------------------|---------|-------|------|-------------|---------|----------|--|--|--|
| Номер | ер Дата Широта Долгота Давление Н | | Номер | Дата | Широта | Долгота | Давление | | | |
| | 19.03.2022 | 38 | 142 | 990 | | | | | | |
| | 20.03.2022 | 49 | 155 | 974 | | | | | | |

III декада марта 2022 г.

Японское море

В самом начале декады, 21 марта, по центральной части моря проследовал антициклон с давлением в центре 1024 гПа. 22–23 числа прошло ещё одно ядро с давлением 1024 гПа.

В период 24–25 марта над Японскими островами перемещался следующий антициклон мощностью 1028 гПа, его гребень распространялся на Японское море, определяя антициклональный тип погоды. Ветер и волнение моря в первой половине декады были умеренные.

26 числа с Жёлтого моря вышел циклон с давлением в центре 994 гПа. Смещаясь на северовосток со скоростью 60-70 км/ч, он углублялся, 27 марта был над Хоккайдо с давлением в центре 988 гПа. Циклон обусловил усиление ветра до 15-20 м/с, волнение 3-4 м.

В период 28–29 числа над южной частью акватории со скоростью 40 км/ч проследовал очередной антициклон мощностью 1032 гПа. В конце декады над морем располагалась малоградиентная ложбина с фронтальным разделом, не вызвавшая усиления ветра.

Охотское море

Циклон, который двигался вдоль Курильской гряды в конце второй декады, 21 марта через северные Курилы переместился в Охотское море с давлением в центре 974 гПа. В дальнейшем перемещался на север со скоростью 20 км/ч, 23 числа заполнился над северной частью моря. Циклон обусловил усиление ветра до 15–20 м/с, волнение 3–4 м.

В середине декады погодные условия определял гребень тихоокеанского антициклона. 27 марта с Японского моря вышел циклон с давлением в центре 984 гПа. Циклон медленно двигался на северо-восток, углублялся, 28 числа через южную Камчатку переместился в Тихий океан. Минимальное давление в его центре — 966 гПа. Ветер на акватории моря усиливался до 20—25 м/с, волнение развивалось до 6—7 м.

30 марта на Охотское море с Хабаровского края вышел циклон с давлением в центре 994 гПа. Двигался на восток со скоростью 40 км/ч, 31 числа перевалил через юг Камчатки в Тихий океан с давлением в центре 988 гПа, вызвав на акватории моря усиление ветра до 15-20 м/с, волнение 3-4 м.

Берингово море

В начале декады на погоду западной части моря оказывал влияние циклон, развивающийся над Охотским морем. Над восточной частью акватории располагался гребень тихоокеанского антициклона. Ветер на западе моря был сильный 15-18~m/c, волнение развивалось до 4-5~m.

22 марта в районе Командорских островов образовался циклон с давлением в центре 982 гПа. Циклон начал медленно (со скоростью 20 км/ч) двигаться на север, заполнялся, 24 марта вышел на север Камчатки. 22 марта на восточной периферии циклона при взаимодействии с гребнем, распространяющимся с арктического бассейна, наблюдался сильный ветер 15–20 м/с, волнение до 3 м.

26 числа к центральным островам Алеутской гряды вышел южный циклон глубиной 984 гПа. Циклон развернулся, двигался на восток вдоль гряды со скоростью 30 км/ч, 28 марта

вышел на Аляскинский залив. Ветер с этим процессом усиливался на востоке моря до 15-18 м/с, волнение – до 3-4 м.

28 марта на западе акватории отмечалось новое усиление южного ветра в связи с приближением к Командорским островам глубокого циклона. 29 марта циклон медленно двигался вдоль Алеутской гряды на восток, заполнялся, 30 числа вошёл в систему другого южного циклона. Последний подошел к Алеутской гряде 29 числа с давлением в центре 974 гПа. В дальнейшем циклон двигался по акватории моря в северо-западном, западном, а 31 числа — южном, юговосточном направлении, 31 марта находился вблизи центральной части Алеутских островов с давлением в центре 986 гПа. Максимальная скорость ветра, вызванная циклонами, — 18—23 м/с, волнение было в пределах 5—6 м.

Северо-западная часть Тихого океана

- 21 марта погоду на севере района продолжал определять глубокий циклон, который сначала перемещался вдоль Курил с тихоокеанской стороны с давлением в центре 974 гПа, а затем вышел на северо-восток Охотского моря. Скорость ветра в зоне действия циклона составляла 15-20 м/с, волнение развивалось до 5-6 м.
- 22 числа вблизи Японских островов на полярном фронте образовалась серия циклонов, которые двигались на северо-восток со скоростью 50–60 км/ч. Циклон, который образовался 21 марта южнее Японии, быстро заполнился. Другой циклон с давлением в центре 1010 гПа, появившийся 22 марта восточнее Японии, двигался на восток, северо-восток со скоростью 70 км/ч без существенного развития, 24 числа по 42-й параллели покинул восточное полушарие.
- 23 марта в районе с координатами 30° с. ш., 140° в. д. образовался циклон с давлением в центре 1008 гПа. Он начал перемещаться на северо-восток со скоростью 70-80 км/ч, углублялся, 26 числа по 50-й параллели пересек 180-й меридиан с давлением в центре 980 гПа. Скорость ветра в зоне циклона достигала 15-20 м/с, волнение до 4-5 м.
- 26 марта в районе с координатами 36° с. ш., 167° в. д. развился циклон глубиной 1008 гПа. Углубляясь, он двигался на северо-восток со скоростью 70 км/ч, 27 марта по 40-й параллели покинул восточное полушарие с давлением в центре 996 гПа, вызвал штормовой ветер 20–25 м/с, волнение 6–7 м.

В тылу циклона смещался обширный антициклон мощностью 1028 гПа. Он переместился с Японского моря 25 марта, двигался на восток со скоростью 40–50 км/ч, 28 числа покинул восточное полушарие с давлением в центре 1034 гПа.

- 27 марта на акватории океана вблизи Японских островов отмечалось усиление южных ветров до 15–20 м/с, волнение развивалось до 5–6 м, что обуславливалось глубокими циклонами. Основной из них глубиной 984 гПа через Хоккайдо вышел на юг Охотского моря. Другой циклон, образовавшийся вблизи юго-восточного побережья Японии, двигался на северо-восток, вскоре втянулся в циркуляцию первого, способствуя дальнейшему его углублению.
- 28 марта на северо-запад района с Охотского моря вышел следующий циклон с давлением в центре 972 гПа. Двигаясь на восток, 29 числа циклон переместился на акваторию Берингова моря. Ветры в зоне циклона и вдоль полярного фронта к югу от центра циклона достигали $15-20 \,\mathrm{m/c}$, волнение до $6-7 \,\mathrm{m}$.
- 29 марта на северо-западную часть Тихого океана с Японского моря переместился антициклон с давлением в центре 1032 гПа. Двигаясь на восток со скоростью 40–50 км/ч, 31 числа антициклон по 32-й параллели переместился в западное полушарие.
- 31 числа восточнее о. Хонсю образовался очередной волновой циклон. Развиваясь, он начал перемещаться на восток со скоростью 60 км/ч.

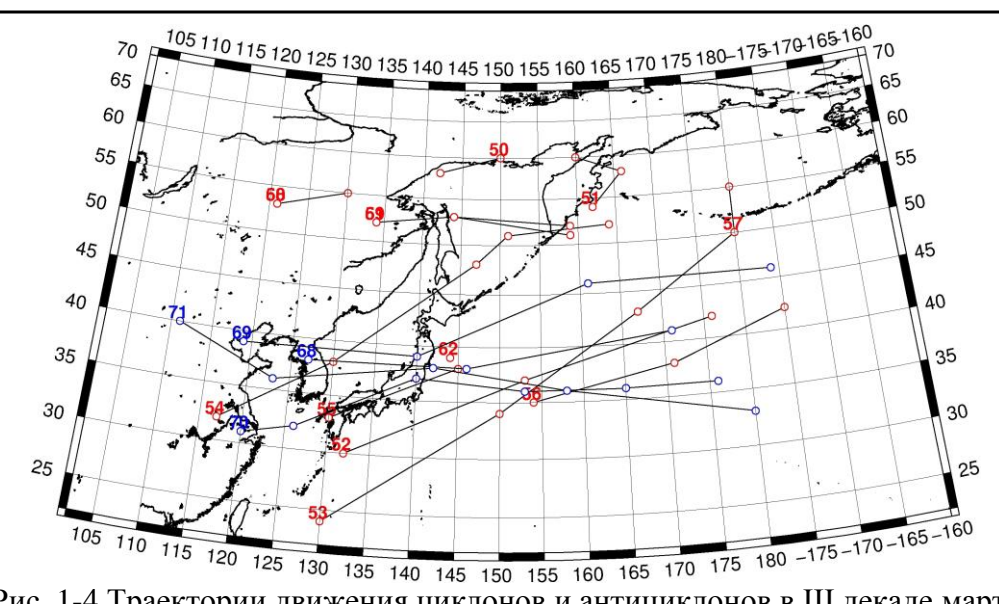


Рис. 1-4 Траектории движения циклонов и антициклонов в III декаде марта

| | | Циклоны | | | Антициклоны | | | | | | |
|-------|------------|---------|---------|----------|-------------|------------|--------|---------|----------|--|--|
| Номер | Дата | Широта | Долгота | Давление | Номер | Дата | Широта | Долгота | Давление | | |
| 50 | 21.03.2022 | 60 | 150 | 982 | 68 | 21.03.2022 | 38 | 127 | 1026 | | |
| | 22.03.2022 | 58 | 142 | 998 | | 22.03.2022 | 38 | 146 | 1024 | | |
| 51 | 22.03.2022 | 54 | 162 | 984 | | 23.03.2022 | 41 | 171 | 1028 | | |
| | 23.03.2022 | 58 | 166 | 996 | 69 | 22.03.2022 | 39 | 119 | 1028 | | |
| | 24.03.2022 | 60 | 160 | 1012 | | 23.03.2022 | 39 | 140 | 1022 | | |
| 52 | 22.03.2022 | 30 | 132 | 1010 | | 24.03.2022 | 46 | 161 | 1024 | | |
| | 23.03.2022 | 37 | 153 | 1004 | | 25.03.2022 | 46 | 184 | 1024 | | |
| | 24.03.2022 | 42 | 176 | 1012 | 70 | 23.03.2022 | 31 | 120 | 1022 | | |
| 53 | 23.03.2022 | 24 | 130 | 1010 | | 24.03.2022 | 32 | 126 | 1020 | | |
| | 24.03.2022 | 34 | 150 | 1004 | | 25.03.2022 | 37 | 140 | 1028 | | |
| | 25.03.2022 | 43 | 167 | 992 | | 26.03.2022 | 36 | 153 | 1030 | | |
| | 26.03.2022 | 50 | 180 | 980 | | 27.03.2022 | 36 | 165 | 1034 | | |
| 54 | 25.03.2022 | 32 | 117 | 1004 | | 28.03.2022 | 36 | 176 | 1034 | | |
| | 26.03.2022 | 38 | 130 | 994 | 71 | 27.03.2022 | 40 | 111 | 1028 | | |
| | 27.03.2022 | 48 | 147 | 984 | | 28.03.2022 | 36 | 123 | 1028 | | |
| | 28.03.2022 | 51 | 151 | 966 | | 29.03.2022 | 38 | 142 | 1032 | | |
| | 29.03.2022 | 52 | 164 | 972 | | 30.03.2022 | 36 | 158 | 1032 | | |
| 55 | 26.03.2022 | 33 | 130 | 1002 | | 31.03.2022 | 33 | 180 | 1030 | | |
| | 27.03.2022 | 38 | 145 | 1000 | | | | | | | |
| 56 | 25.03.2022 | 35 | 154 | 1012 | | | | | | | |
| | 26.03.2022 | 38 | 171 | 1004 | | | | | | | |
| | 27.03.2022 | 42 | 185 | 994 | | | | | | | |
| 57 | 29.03.2022 | 50 | 180 | 984 | | | | | | | |
| | 30.03.2022 | 55 | 180 | 974 | | | | | | | |
| 58 | 28.03.2022 | 53 | 121 | 1002 | | | | | | | |
| | 29.03.2022 | 55 | 130 | 1002 | | | | | | | |
| 59 | 29.03.2022 | 52 | 134 | 1004 | | | | | | | |
| | 30.03.2022 | 53 | 144 | 994 | | | | | | | |

| Циклоны | | | | | | Антициклоны | | | | | |
|---------|------------|--------|---------|----------|-------|-------------|--------|---------|----------|--|--|
| Номер | Дата | Широта | Долгота | Давление | Номер | Дата | Широта | Долгота | Давление | | |
| | 31.03.2022 | 52 | 159 | 992 | | | | | | | |
| 60 | 28.03.2022 | 53 | 121 | 1002 | | | | | | | |
| | 29.03.2022 | 55 | 130 | 1002 | | | | | | | |
| 61 | 29.03.2022 | 52 | 134 | 1004 | | | | | | | |
| | 30.03.2022 | 53 | 144 | 994 | | | | | | | |
| | 31.03.2022 | 51 | 159 | 992 | | | | | | | |
| 62 | 31.03.2022 | 39 | 144 | 1014 | | | | | | | |

1.2 Анализ термобарических полей

Карты термобарических полей месячного разрешения над районом обзора построены на основе данных реанализа NCEP/NCAR, приведены ниже на рис. 1-5—1-7. Анализ термобарических полей сделан на базе средних за месяц карт геопотенциала для стандартного изобарического уровня 500 гПа, давления на уровне моря и температуры воздуха на стандартном изобарическом уровне 850 гПа. Аномалии рассчитаны относительно средних многолетних значений за период 1981—2010 гг.

Региональный обзор

В марте тропосферные гребни над севером Центральной Азии и северо-восточной частью Тихого океана разрушились. Высотная фронтальная зона над регионом имела слабую деформацию. В умеренных широтах преобладал западно-восточный перенос воздуха, в том числе очень сглаженной была зимняя дальневосточная ложбина. При этом высотная фронтальная зона значительно поднялась к северу по отношению к её позиции в феврале и по сравнению с климатическим положением. В полярных районах над Чукоткой сохранял свои позиции высотный антициклон, установившийся ещё в январе, однако совершенно утративший связь с гребнями умеренных широт. В зоне стояния антициклона над Чукоткой и прилегающим сектором Арктики аномалии геопотенциальных высот поверхности Н₅₀₀ достигали +7 дам (тропосфера теплее обычного). Депрессионное поле сформировалось лишь над крайними северными района материка между Леной и Енисеем (рис. 1-5). Однако наиболее холодным тропосферный воздух был над Западной Сибирью, аномалии геопотенциальных высот поверхности Н₅₀₀ здесь отрицательные до -9 дам. Тропосфера над большей частью умеренных широт региона и субтропической климатической зоной, наоборот, теплее нормы (аномалии геопотенциальных высот поверхности Н₅₀₀ достигали +3...+5 дам).

У поверхности земли в марте барическое поле несколько утратило зимнюю контрастность в распределении барических объектов. Над северной половиной океана по-прежнему доминировала алеутская депрессия (рис. 1-6), однако она заполнилась до климатических показателей, была представлена двумя центрами. «Расползание» центров депрессии к западу, под крайние западные острова Алеутской гряды, и к востоку, под Командорские острова, привело к формированию в этих районах отрицательных аномалий атмосферного давления до -3...-4 гПа. На юге влияние депрессии ограничивал тихоокеанский субтропический антициклон, его мощность незначительно превышала климатическую (на 2–3 гПа). Азиатский антициклон занимал традиционное положение над Монголией, но был деградирован, как и его отроги. В зоне его влияния давление ниже нормы на 3–4 гПа. Бассейны Оби и Енисея вернулись под влияние депрессии, здесь фон атмосферного давления ниже нормы на 4–5 гПа.

Японское море

В средней тропосфере Японское море оставалась под воздействием западно-восточного переноса воздуха. Над большей частью моря тропосфера была теплее нормы (аномалии высот изобарической поверхности H_{500} в пределах +3...+4 дам).

У земной поверхности акватория моря находилась в поле относительно пониженного давления на юго-западной периферии депрессии. Фон атмосферного давления над морем ниже нормы на $1-2\ \Gamma\Pi a$.

Температура воздуха на уровне H_{850} (нижняя тропосфера) над морем распределена от +3 °C на юге до -12 °C на севере акватории. Это состояние превышает норму примерно на 2 °C. За месяц температура воздуха над морем повысилась 4-8 °C.

Охотское море

В средней тропосфере большая часть акватории Охотского моря находилась под воздействием высотной ложбины, ориентированной с северо-запада, с бассейна Лены. Лишь северо-восток моря испытывал влияние высотного гребня. Над всей акваторией тропосфера была теплее обычного, высоты изобарической поверхности H_{500} превышали климатические значения на 2-4 дам, на крайнем северо-востоке – на 5-6 дам.

У земной поверхности большая часть акватории находилась в области низкого давления на западной периферии депрессии, центр которой был смещен к Командорским островам. Атмосферное давление над морем в среднем за месяц ниже нормы на 1–4 гПа. Наибольшие отклонения от нормы — на акватории, прилегающей к Камчатке, совпадают с самым низким давлением.

Температура воздуха в нижнем слое тропосферы на уровне H_{850} над морем распределена от -7 °C на юге до -15 °C на северо-западе акватории. Это состояние превышает норму на 2–3 °C. За месяц температура воздуха повысилась на 2–4 °C.

Берингово море

В марте большая часть Берингова моря находилась под воздействием тропосферного антициклона, лишь на юго-востоке акватории сформировалось небольшое депрессионное поле. В области влияния антициклона тропосфера была теплой, аномалии геопотенциальных высот поля H_{500} достигали +7 дам. В зоне высотной депрессии было относительно холодно, здесь аномалии геопотенциальных высот отрицательные до -2 дам.

У земной поверхности южная часть моря находилась под воздействием алеутской депрессии, представленной двумя центрами, расположенными с тихоокеанской стороны от Алеутской гряды. Север моря находился на северной периферии депрессии, в градиентной зоне между депрессией и арктическим антициклоном. На юго-западе и юго-востоке акватории, там, где сказывалось наибольшее влияние депрессий, фон атмосферного давления ниже нормы на 1–4 гПа. На севере центральной части моря давление незначительно превышает норму (аномалии до +1 гПа).

Температура воздуха в нижнем слое тропосферы на уровне H_{850} над морем в среднем за месяц распределена от -7 °C на юге до -11 °C на севере, северо-западе акватории. Это состояние превышает норму на 1–3 °C, лишь на юго-востоке акватории близко к норме. За месяц над большей частью моря температура воздуха изменилась слабо, наиболее заметно изменилась на юге, юго-востоке акватории, где она понизилась на 2-3 °C, и на северо-западе, здесь она повысилась примерно на 2 °C.

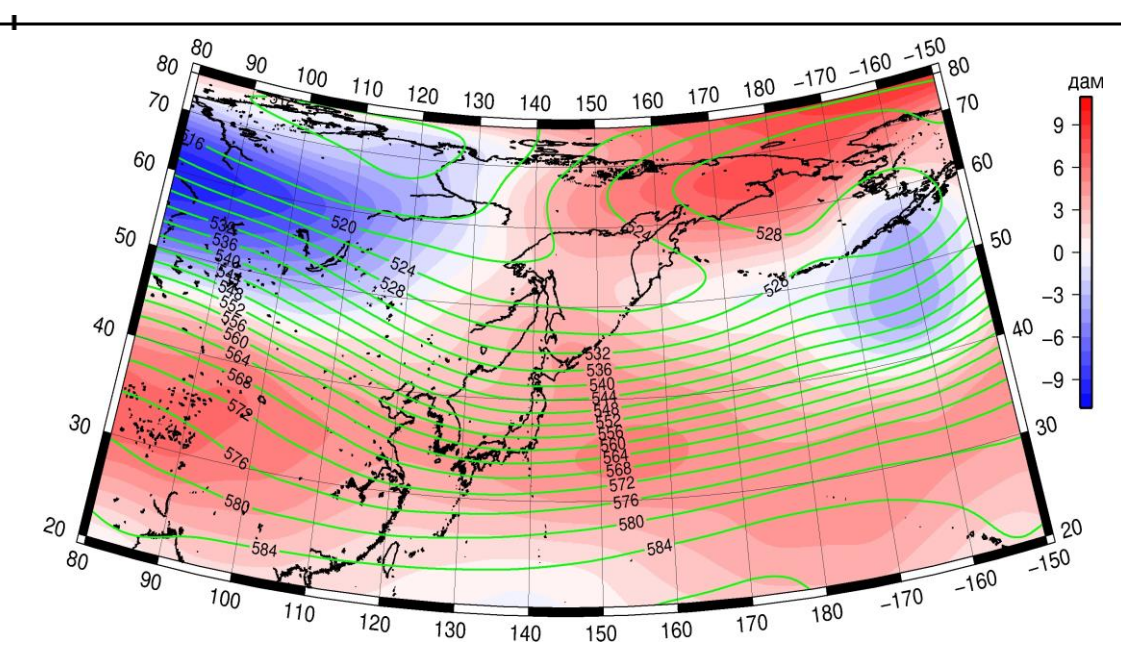


Рис. 1-5 Среднее поле H_{500} (изогипсы) и его аномалии (изополосы) в марте 2022 г. (дам)

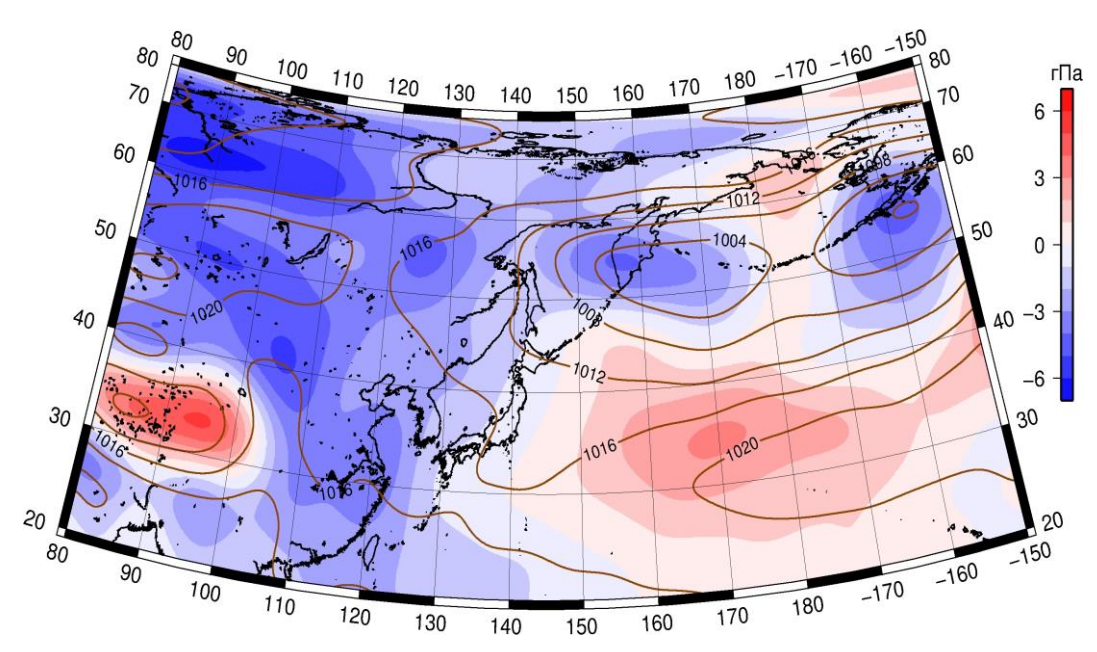


Рис. 1-6 Среднее поле атмосферного давления у поверхности земли (изобары) и его аномалии (изополосы) в марте $2022 \, \Gamma$. ($\Gamma\Pi a$)

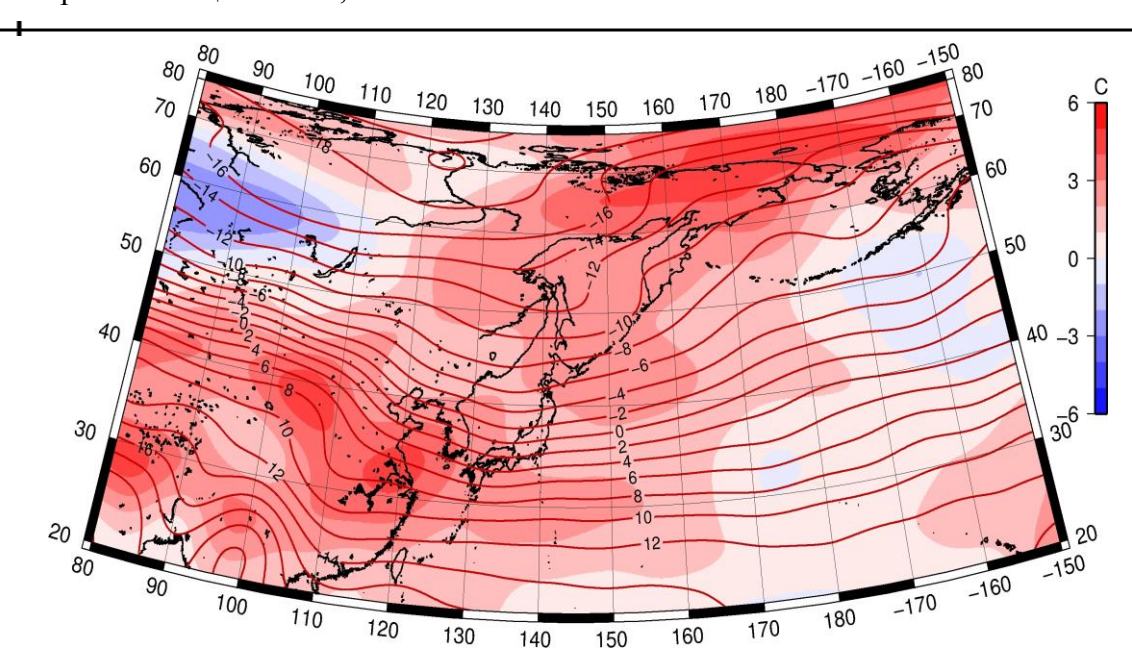


Рис. 1-7 Среднее поле T_{850} (изотермы) и его аномалии (изополосы) в марте 2022 г. (°С)

1.3 Региональные индексы циркуляции атмосферы

1.3.1 Зональный и меридиональный перенос воздуха над II е. с. р.

Характеристика основных воздушных течений в средней и нижней тропосфере за март 2022 г. сделана на основе индексов атмосферной циркуляции, приведенных ниже в таблице и на рис. 1-8-1-10. В данном разделе для характеристики индексов принята следующая терминология: норма $-\pm 0,3$ STD относительно нормы; незначительное отклонение от нормы $-\pm (0,4-0,7)$ STD; значительное отклонение от нормы $-\pm 2$ STD. Аномалии рассчитаны относительно средних многолетних значений (нормы) за период 1981-2010 гг.

Японское море

В марте во всем слое тропосферы над Японским морем сохранялся западно-восточный перенос воздуха (значения индекса Kz положительные); его интенсивность превышала норму, в средней тропосфере незначительно (Kz равен 0,4STD и 0,9STD соответственно в средней тропосфере и у поверхности земли). В зоне $35-50^{\circ}$ с. ш. над II е. с. р. перенос воздуха с запада на восток также оставался преобладающим (зональные индексы положительные); его интенсивность превышала средние многолетние показатели (Kz соответственно в средней и нижней тропосфере составлял 0,8STD и 1,1STD).

Межширотный обмен во всем слое тропосферы над Японским морем был слабым (|Km| равен -0,7STD и -1,2STD соответственно в средней тропосфере и у поверхности земли), что определялось ослаблением северной составляющей обмена (Кm соответственно равен 0,6STD и 1,2STD). При этом в среднем за месяц преобладал перенос воздуха с севера (значения меридиональных индексов отрицательные).

Над широтной зоной 35–50° с. ш. II е. с. р. интенсивность меридиональных движений в тропосфере была слабой (|Km| равен -1,1STD и -1,9STD соответственно в средней тропосфере и у поверхности земли). Многолетний баланс между меридиональными составляющими в средней тропосфере был незначительно нарушен в пользу северной составляющей (Кт равен -0,5STD), у поверхности земли близок к норме (Кт составлял 0,2STD). Во всем слое тропосферы в течение месяца преобладал перенос воздуха с севера (значения меридиональных индексов отрицательные).

Охотское море

Над Охотским морем в марте в средней тропосфере преобладал перенос воздуха с запада на восток (значение зонального индекса положительное), его интенсивность близка к норме (Kz равен 0,1STD). В нижнем слое тропосферы над морем преобладал перенос с востока на запад (зональный индекс отрицательный), интенсивность восточного переноса была слабой (Kz равен 0,9STD). В зоне 50–70° с. ш. над II е. с. р. в средней тропосфере преобладали движения воздуха с запада на восток, а у поверхности земли, наоборот, с востока на запад; их интенсивность близка к норме (Kz равен -0,2STD и 0,2STD соответственно в средней тропосфере и у поверхности земли).

Межширотный обмен в средней тропосфере над акваторией Охотского моря был незначительно слабее нормы (|Km| равен -0,7STD), в большей мере за счет ослабления северной составляющей обмена (Km составлял 0,4STD), преобладал перенос воздуха с юга (значение индекса положительное). В нижнем слое тропосферы интенсивность межширотного обмена и многолетний баланс между меридиональными составляющими были близки к норме (|Km| равен -0,3STD, Km – 0,2STD), преобладал перенос воздуха с севера (значение индекса отрицательное).

В зоне 50– 70° с. ш. над II е. с. р. в средней тропосфере интенсивность межширотного обмена была незначительно слабее нормы (|Km| равен -0,6STD), многолетний баланс между меридиональными составляющими был нарушен в пользу южной составляющей обмена (Km равен 1,2STD), сформировалось незначительное преобладание движений с юга (значение индекса

положительное). В нижней тропосфере в этой широтной зоне интенсивность межширотного обмена была слабой (|Km| составлял -1,1STD), что определялось деградацией северной составляющей обмена (Km равен 0,8STD), но преобладание северной составляющей сохранилось (значение индекса отрицательное).

Индексы циркуляции атмосферы и их аномалии по II е. с. р.

| 11 4 | Уровень | Январь | | | | Февраль |) | Март | | | |
|-----------|-----------|----------|--------|-------|----------|---------|-------|----------|--------|-------|--|
| Индекс* | (высота) | значение | ASTD** | STD** | значение | ASTD** | STD** | значение | ASTD** | STD** | |
| Кz Ям | | 21495 | -0.7 | 3921 | 20331 | -0.7 | 2736 | 24657 | 0.4 | 4118 | |
| Кz Ом | | -2501 | -1.6 | 4807 | -385 | -1.1 | 4128 | 6666 | 0.1 | 3029 | |
| Кz Бм | | -2791 | -1.2 | 4567 | 151 | -0.5 | 4910 | 1444 | -0.8 | 4673 | |
| Kz 35_50 | | 17775 | -1.3 | 3249 | 20393 | -0.2 | 2820 | 24570 | 0.8 | 3274 | |
| Kz 50_70 | | 849 | -0.9 | 3146 | -574 | -1.7 | 2455 | 4146 | -0.2 | 2364 | |
| Kz 35_70 | | 8641 | -1.6 | 2024 | 8825 | -1.6 | 1641 | 13121 | 0.5 | 1571 | |
| Кт Ям | | -6350 | -1.8 | 1376 | -3165 | 0.8 | 1806 | -2695 | 0.6 | 1781 | |
| Кт Ом | | 514 | -0.4 | 1829 | -1047 | -1.1 | 1637 | 806 | 0.4 | 1385 | |
| Кт Бм | 500 -II- | 1663 | -0.7 | 1249 | 3820 | 0.8 | 1883 | 908 | -0.8 | 1334 | |
| Km 35_50 | 500 гПа | -966 | 0.0 | 957 | 52 | 0.8 | 1114 | -995 | -0.5 | 816 | |
| Km 50_70 | | -142 | 0.0 | 737 | -374 | -0.3 | 896 | 301 | 1.2 | 492 | |
| Km 35_70 | | -467 | 0.0 | 724 | -175 | 0.3 | 893 | -222 | 0.3 | 515 | |
| Кт Ям | | 8588 | 1.9 | 1680 | 4264 | -0.9 | 2353 | 3666 | -0.7 | 2231 | |
| Кт Ом | | 2292 | -0.7 | 1969 | 1762 | -1.1 | 1476 | 1939 | -0.7 | 1223 | |
| Кт Бм | | 3314 | -0.9 | 1787 | 7482 | 0.8 | 3062 | 2802 | -0.9 | 1881 | |
| Km 35_50 | | 6382 | 1.0 | 843 | 7042 | 1.3 | 1143 | 4004 | -1.1 | 1024 | |
| Km 50_70 | | 4443 | -0.3 | 1304 | 3966 | -0.5 | 1458 | 3536 | -0.6 | 1169 | |
| Km 35_70 | | 5262 | 0.3 | 887 | 5200 | 0.1 | 1123 | 3758 | -1.1 | 801 | |
| Кz Ям | | -183 | -0.7 | 1500 | 2066 | 1.0 | 1277 | 2806 | 0.9 | 1035 | |
| Кz Ом | | -5193 | -1.2 | 2234 | -4236 | -0.9 | 1961 | -503 | 0.9 | 1295 | |
| Кz Бм | | -10836 | -2.2 | 2691 | -6829 | -0.8 | 2362 | -3309 | 0.0 | 2737 | |
| Kz 35_50 | | 1627 | -0.5 | 1684 | 3716 | 1.1 | 1516 | 4096 | 1.1 | 1277 | |
| Kz 50_70 | | -2939 | -0.8 | 1722 | -3273 | -1.0 | 1442 | -1381 | 0.2 | 1413 | |
| Kz 35_70 | | -853 | -0.9 | 1171 | -281 | -0.2 | 958 | 961 | 1.0 | 784 | |
| Кт Ям | | -6409 | -1.0 | 970 | -5556 | -0.8 | 1052 | -1802 | 1.2 | 693 | |
| Кт Ом | | -5106 | -0.9 | 1147 | -5431 | -1.4 | 1086 | -2350 | 0.2 | 1243 | |
| Кт Бм | 1000 гПа | -479 | 0.0 | 944 | 540 | 0.7 | 1410 | -447 | 0.0 | 1027 | |
| Km 35_50 | 1000 111a | -2418 | -0.4 | 687 | -1808 | -0.2 | 796 | -648 | 0.2 | 533 | |
| Km 50_70 | | -1081 | 0.3 | 518 | -1387 | -0.4 | 619 | -602 | 0.8 | 364 | |
| Km 35_70 | | -1597 | 0.0 | 530 | -1513 | -0.3 | 644 | -571 | 0.6 | 336 | |
| Кт Ям | | 8740 | 1.0 | 1321 | 7565 | 0.8 | 1428 | 2466 | -1.2 | 953 | |
| Кт Ом | | 8245 | 0.8 | 1798 | 8818 | 1.4 | 1682 | 3898 | -0.3 | 1838 | |
| Кт Бм | | 2042 | -0.8 | 1378 | 5981 | 1.5 | 1631 | 2028 | -1.0 | 1073 | |
| Km 35_50 | | 4898 | 1.0 | 691 | 5729 | 2.2 | 795 | 1957 | -1.9 | 542 | |
| Km 50_70 | | 3510 | -0.1 | 648 | 4203 | 1.0 | 737 | 2158 | -1.1 | 563 | |
| Km 35_70 | | 4050 | 0.4 | 576 | 4717 | 1.7 | 644 | 2015 | -1.7 | 463 | |

^{*} Описание индексов приведено в разделе «Терминология».

Берингово море

В течение месяца в средней тропосфере над Беринговым морем преобладал перенос воздуха с запада (значение зонального индекса положительное), но его интенсивность ниже

^{**} Климатические характеристики (STD, ASTD) рассчитаны относительно норм 1981–2010 гг.

нормы (Kz равен -0,8STD). В нижней тропосфере преобладал перенос с востока на запад (индекс Kz отрицательный), его интенсивность близка к норме (Kz составлял 0,0STD).

Интенсивность межширотного обмена в средней тропосфере над акваторией моря была слабой (|Km| составлял -0,9STD), что определялось деградацией южной составляющей обмена (Кт равен -0,8STD), в течение месяца преобладал перенос с юга (значение меридионального индекса положительное). У поверхности земли над морем межширотный обмен тоже был слабым (|Km| равен -1,0STD), но многолетний баланс между меридиональными составляющими был близок к среднему многолетнему (Кт равен 0,0STD), сформировалось преобладание движений воздуха с севера (значение индекса отрицательное).

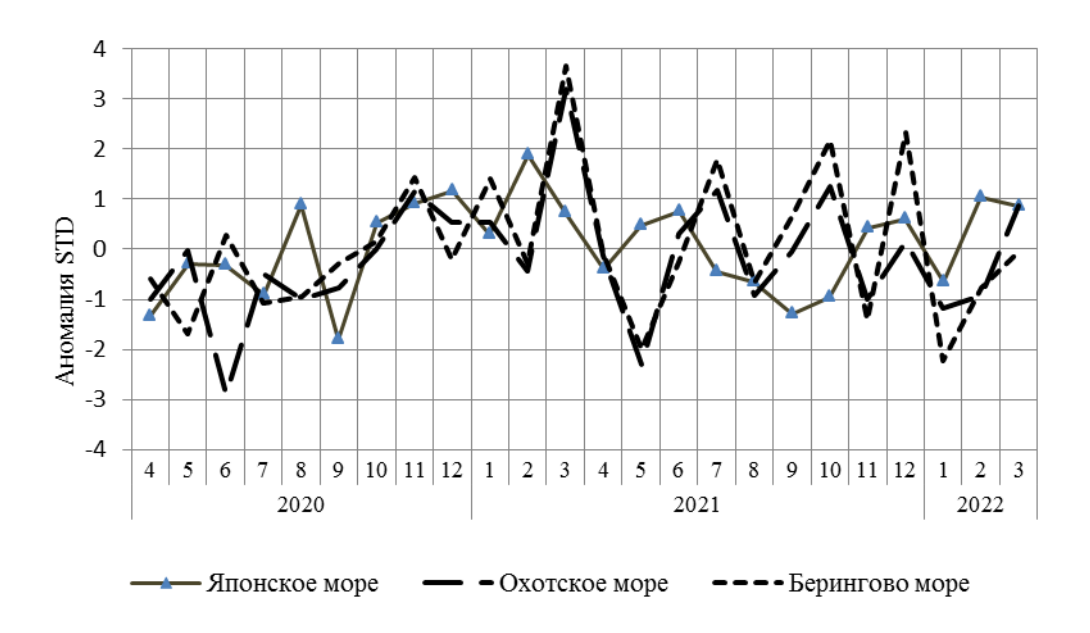


Рис. 1-8 Годовой ход стандартизованных аномалий индекса интегрального зонального переноса воздуха с учетом знака (Kz) в нижней тропосфере над дальневосточными морями

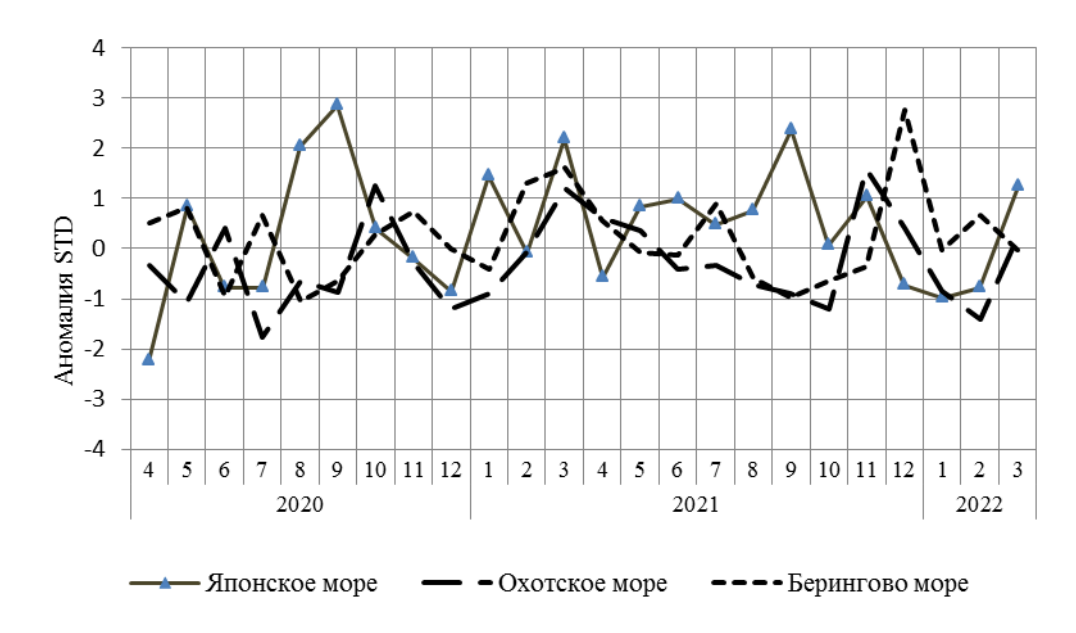


Рис. 1-9 Годовой ход стандартизованных аномалий индекса интегрального меридионального переноса воздуха с учетом знака (Кm) в нижней тропосфере над дальневосточными морями

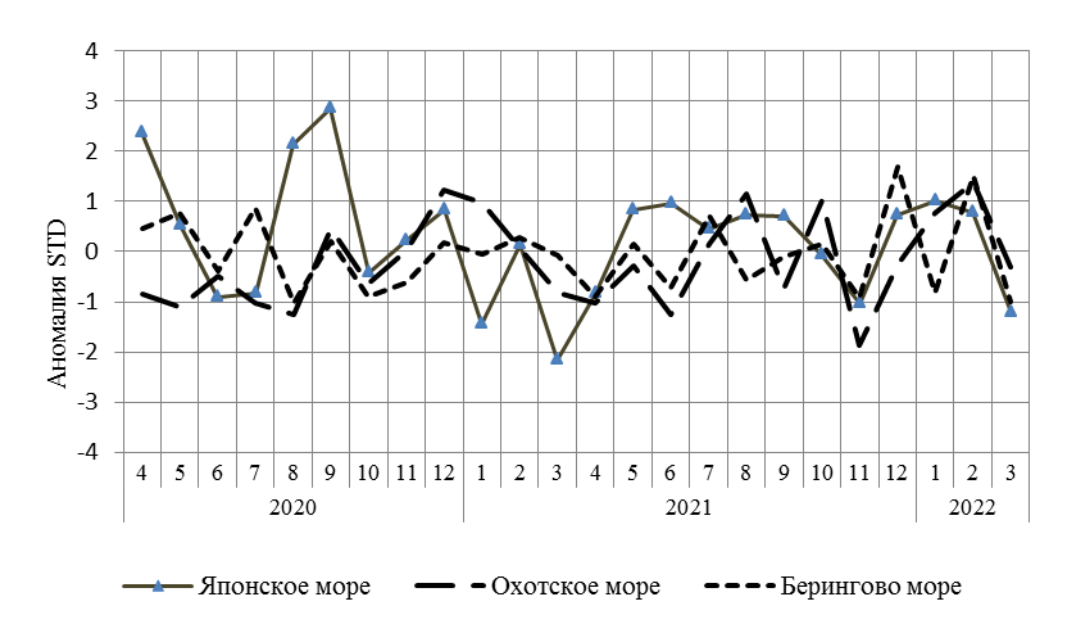


Рис. 1-10 Годовой ход стандартизованных аномалий индекса интегрального меридионального переноса воздуха без учета знака (|Km|) в нижней тропосфере над дальневосточными морями

1.4 Аналог погоды на март 2022 г. для Дальнего Востока

Аналог подбирается для усредненных за месяц полей давления воздуха у земли и геопотенциала H_{500} для II е. с. р. Объективным критерием подбора является коэффициент корреляции. Учитывается динамика процесса: используются поля за предшествующие месяцы с весовыми коэффициентами.

Дата аналога для марта 2022 г. – март 2003 г.

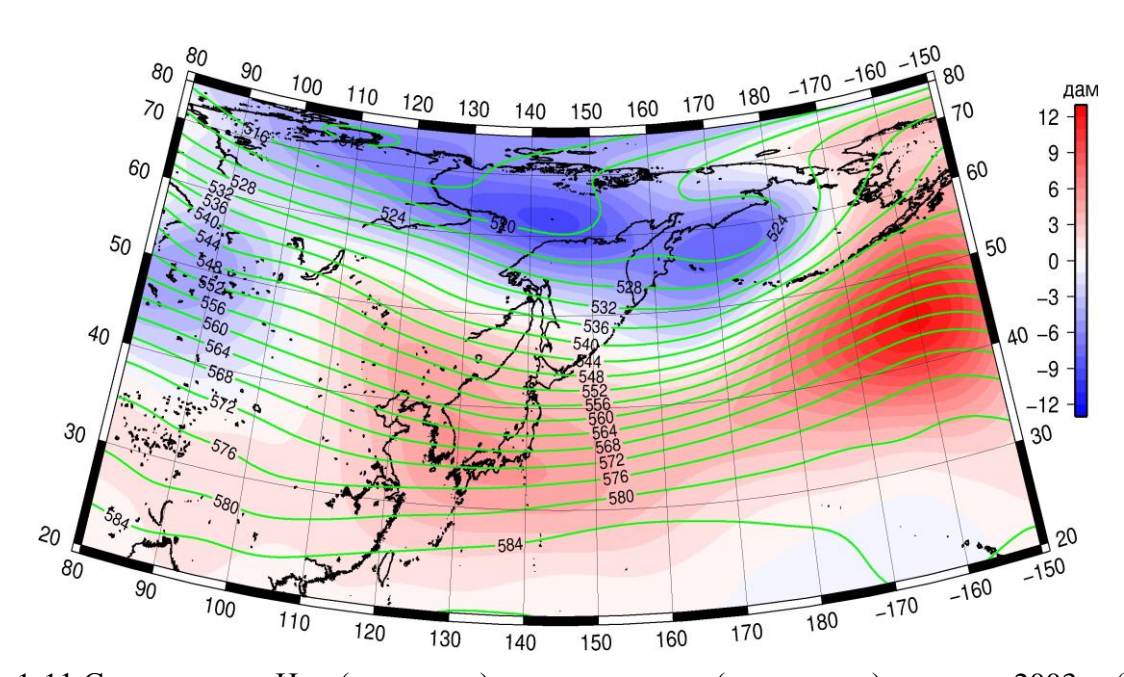


Рис. 1-11 Среднее поле H_{500} (изолинии) и его аномалии (изополосы) в апреле 2003 г. (дам)

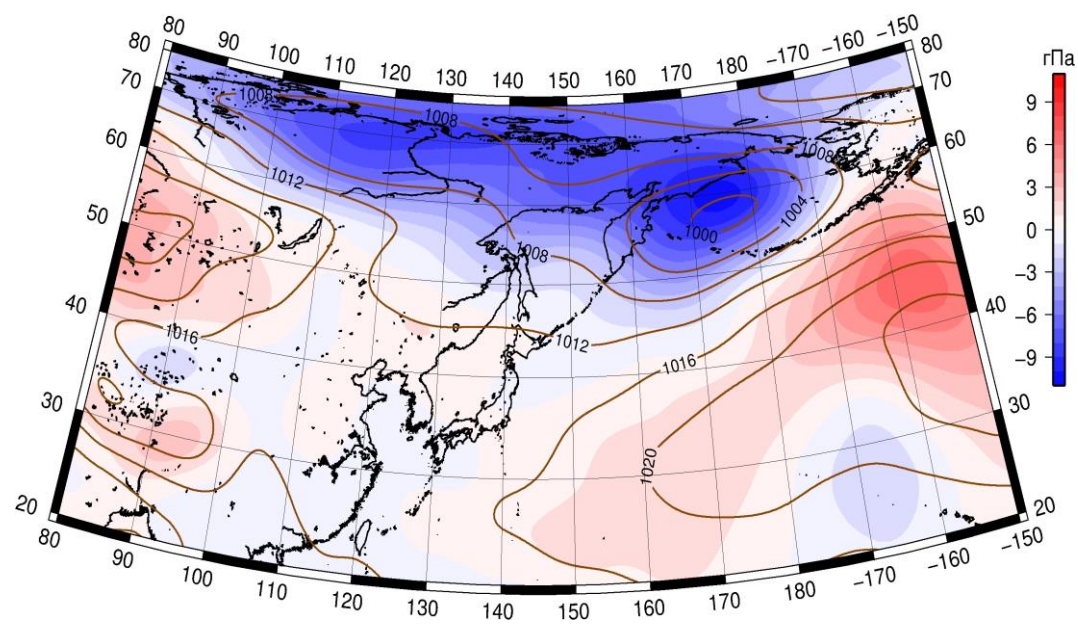


Рис. 1-12 Среднее поле давления у поверхности земли (изолинии) и его аномалии (изополосы) в апреле 2003 г. (гПа)

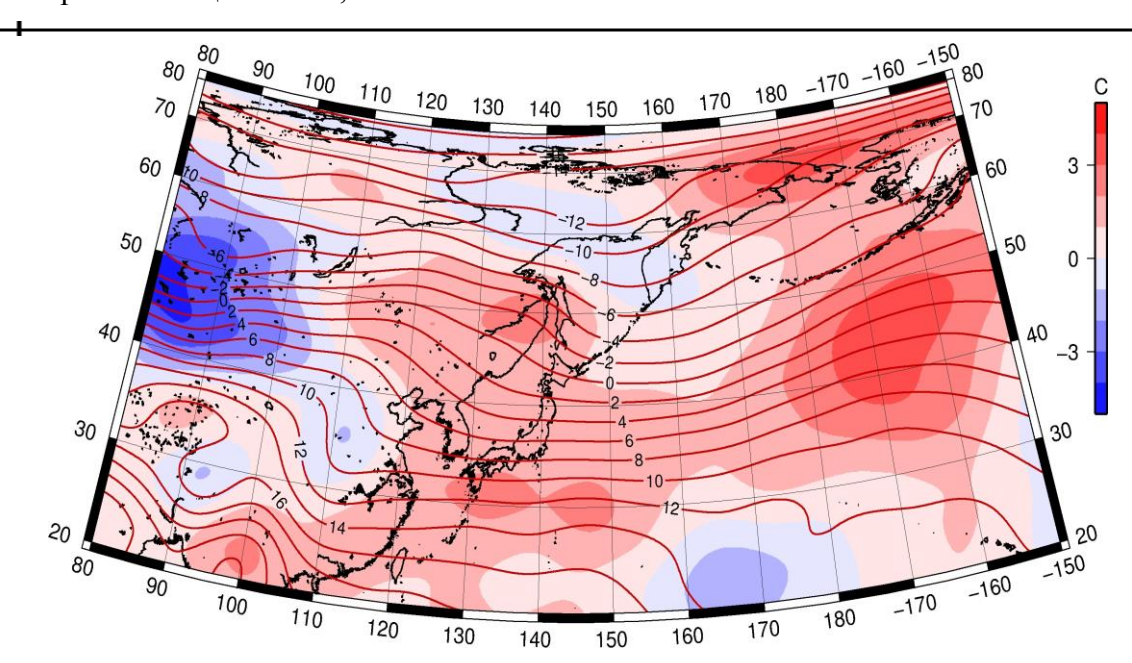


Рис. 1-13 Среднее поле T_{850} (изолинии) и его аномалии (изополосы) в апреле 2003 г. (°С)